

АКАДЕМИЯ НАУК СССР

РАДИОТЕХНИКА
И
ЭЛЕКТРОНИКА

Том XXVI

(ОТДЕЛЬНЫЙ ОТТИСК)

3

МОСКВА · 1981

УДК 621.396.677.012.12

МЕТОД АНАЛИЗА СТАТИСТИЧЕСКИХ ХАРАКТЕРИСТИК КНД ФАЗИРОВАННОЙ АНТЕННОЙ РЕШЕТКИ ПРИ СЛУЧАЙНЫХ АМПЛИТУДАХ, ФАЗАХ И РАСПОЛОЖЕНИИ ИЗЛУЧАТЕЛЕЙ

В. И. Стеблин, В. И. Классен

Разработан новый метод асимптотической оценки кнд фазированной антенной решетки (ФАР) при произвольных амплитудно-фазовых ошибках и расположении излучателей. Метод позволяет достаточно просто вычислять общие асимптотические, относительно числа излучателей в решетке, выражения для среднего значения и дисперсии кнд.

Показано, что в частных случаях эти выражения совпадают с известными. Приведены результаты численных расчетов.

1. Если изотропные по азимутальному углу излучатели квадратной плоской фазированной антенной решетки (ФАР) имеют амплитуды возбуждения a_n и фазы ψ_n , то диаграмма направленности (ДН) по мощности может быть записана следующим образом:

$$(1) \quad P(u, v, u_0, v_0) = |f(\theta)|^2 \left[\sum_i a_i^2 + \sum_{m,n}' a_m a_n e^{i(\psi_m - \psi_n)} \exp \{ ik [(u - u_0)(x_m - x_n) + (v - v_0)(y_m - y_n)] \} \right],$$

где $u = \sin \theta \cos \varphi$; $v = \sin \theta \sin \varphi$; $k = 2\pi/\lambda$. Пределы суммирования здесь и далее, если не оговорено иное условие, предполагаются от 1 до N , а знак (') означает, что опускаются члены с $m=n$. Подставляя (1) в выражение, определяющее кнд ФАР (см., например, [1]), получаем

$$(2) \quad D = 2|f(\theta_0)|^2 \times \frac{\sum_i a_i^2 + \sum_{m,n}' a_m a_n e^{i(\psi_m - \psi_n)}}{J_1 \sum_f a_f^2 + \sum_{m,n}' a_m a_n R(z_{mn}) e^{i(\psi_m - \psi_n)} \exp \{ -ik [u_0(x_m - x_n) + v_0(y_m - y_n)] \}},$$

где

$$z_{mn} = k \sqrt{(x_m - x_n)^2 + (y_m - y_n)^2}; \quad J_1 = \int_0^{\pi/2} |f(\theta)|^2 \sin \theta \, d\theta;$$

(3)

$$R(z_{mn}) = \int_0^{\pi/2} |f(\theta)|^2 \sin \theta J_0(z_{mn} \sin \theta) \, d\theta;$$

$|f(\theta)|^2$ — ДН излучателя по мощности.

Пусть a_n , ψ_n и координаты излучателей суть независимые случайные величины. Введем далее по аналогии с выборочными средними в математической статистике [2] величины ε_j , $j=1, 2, 3$, определяемые формулами

$$\begin{aligned} \varepsilon_1 &= \frac{1}{N} \sum_l a_l^2, & \varepsilon_2 &= \frac{2}{N(N-1)} \sum_{m < n} a_m a_n e^{i(\psi_m - \psi_n)}, \\ (4) \quad \varepsilon_3 &= \frac{2}{N(N-1)} \sum_{m < n} a_m a_n R(z_{mn}) e^{i(\psi_m - \psi_n)} \times \\ & \times \exp\{-ik[u_0(x_m - x_n) + v_0(y_m - y_n)]\}. \end{aligned}$$

Представим кнд ФАР, нормированный к $2|f(\theta_0)|^2 N/J_1$, т. е. к своему значению для взаимно ортогональных ДН, как функцию отклонений этих величин от их математических ожиданий:

$$(5) \quad D(\Delta\varepsilon_k) = \frac{J_1}{N} \frac{\mu_1 + (N-1)\mu_2 + \Delta\varepsilon_1 + (N-1)\Delta\varepsilon_2}{\mu_1 + (N-1)\mu_3 + \Delta\varepsilon_1 + (N-1)\Delta\varepsilon_3},$$

где $\Delta\varepsilon_k = \varepsilon_k - \mu_k$; $k=1, 2, 3$; μ_k — математическое ожидание случайной величины ε_k . Кнд ФАР представлен в (5) функцией малых параметров $\Delta\varepsilon_j$. Действительно, их математические ожидания равны нулю, а дисперсии стремятся к нулю с ростом N [2]. Разложим кнд (5) в ряд Тейлора в окрестности точки ($\Delta\varepsilon_k = 0$) и ограничимся в этом разложении линейным членом. Учет членов более высокого порядка даст при $N \rightarrow \infty$ пренебрежимо малые поправки к статистическим характеристикам кнд. Тогда среднее значение и дисперсия кнд определяются формулами [3]

$$(6) \quad \bar{D} = D(\overline{\Delta\varepsilon_k}),$$

$$\sigma_D^2 = \sum_{i=1}^3 D_i'^2(\overline{\Delta\varepsilon_k}) \sigma_{\Delta\varepsilon_i}^2 + 2 \sum_{m < n} D_m'(\overline{\Delta\varepsilon_k}) D_n'(\overline{\Delta\varepsilon_k}) \overline{\Delta\varepsilon_m \Delta\varepsilon_n}.$$

2. Предполагая, что законы распределения величин фаз и амплитуд независимы и одинаковы для всех излучателей, а также, что закон распределения фаз излучателей симметричен относительно математического ожидания $\overline{\psi_j} = 0$, $j=1, \dots, N$, получим следующие выражения для статистических характеристик кнд:

$$(7) \quad \bar{D}(u_0, v_0) = \frac{J_1}{N} \frac{\bar{a}^2 + (N-1)\bar{a}^2 \overline{\cos^2 \psi}}{J_1 \bar{a}^2 - \bar{a}^2 \overline{\cos^2 \psi} \left(1 - \frac{1}{N} \sum_{i,j} \beta_{ij}\right)},$$

$$(8) \quad \sigma_D^2(u_0, v_0) = \frac{\bar{D}^2}{N} \left(\frac{N-1}{\bar{a}^2 + (N-1)\bar{a}^2 \overline{\cos^2 \psi}} \right)^2 \times \\ \times \left[\frac{\bar{a}^2 \overline{\cos^2 \psi} \left(1 - \frac{1}{N-1} \left(\frac{1}{N} \sum_{i,j} \beta_{ij} - 1\right)\right)}{J_1 \bar{a}^2 + \bar{a}^2 \overline{\cos^2 \psi} \left(\frac{1}{N} \sum_{i,j} \beta_{ij} - 1\right)} \right]^2 \times$$

$$\begin{aligned}
& \times \left[\frac{4(\bar{a}^3 - \bar{a}\bar{a}^2)}{\bar{a}} \frac{(\bar{a}^2 + \bar{a}^2 \overline{\cos \psi^2} (N-1)) \left(\frac{1}{N} \sum_{i,j} \beta_{ij} - 1 \right)}{(N-1) - \left(\frac{1}{N} \sum_{i,j} \beta_{ij} - 1 \right)} + \bar{a}^4 - \right. \\
& \left. - \bar{a}^{22} \right] + \frac{2(N-2)}{N-1} [\bar{a}^2 \bar{a}^2 \overline{\cos \psi^2} (1 + \overline{\cos 2\psi}) - 2\bar{a}^4 \overline{\cos \psi^4}] + \\
& + \frac{\bar{a}^{22} (1 + \overline{\cos 2\psi^2}) - 2\bar{a}^4 \overline{\cos \psi^4}}{N-1} + \\
& + \left(\frac{\sqrt{2}}{N-1} \frac{\bar{a}^2 + \bar{a}^2 \overline{\cos \psi^2} (N-1)}{J_1 \bar{a}^2 + \bar{a}^2 \overline{\cos \psi^2} \left(\frac{1}{N} \sum_{i,j} \beta_{ij} - 1 \right)} \right)^2 \times \\
& \times \left[\frac{\sigma_1^2 \left\{ \sum_{i,j} \beta_{ij}^2 - N + 2r \left(\sum_{i,j} \beta_{ij} \beta_{il} - \sum_{i,j} \beta_{ij}^2 - 2 \sum_{i,j} \beta_{ij} + 2N \right) \right\} + \right. \\
& \left. + \sigma_2^2 \left\{ \sum_{i,j} \gamma_{ij}^2 + 2r' \left(\sum_{i,j,l} \gamma_{ij} \gamma_{il} - \sum_{i,j} \gamma_{ij}^2 \right) \right\} \right] - \\
& - \frac{4}{J_1 \bar{a}^2 + \bar{a}^2 \overline{\cos \psi^2} \left(\frac{1}{N} \sum_{i,j} \beta_{ij} - 1 \right)} \left[\bar{a}^3 \overline{\cos \psi^4} (\bar{a}^3 - \bar{a}\bar{a}^2) + \right. \\
& \left. \sigma_1^2 (\bar{a}^2 + (N-1) \bar{a}^2 \overline{\cos \psi^2}) \{1 + 2r(N-2)\} \left(\sum_{i,j} \beta_{ij} - N \right) \right. \\
& \left. + \frac{\bar{a}^3 \overline{\cos \psi^4}}{N-1} \left[\frac{1}{N} \sum_{i,j} \beta_{ij} - 1 \right] \right] \Bigg\},
\end{aligned}$$

где

$$\begin{aligned}
& \beta_{ij} = \cos k[u_0(x_i - x_j) + v_0(y_i - y_j)] \times R(z_{ij}); \\
& \gamma_{ij} = \sin k[u_0(x_i - x_j) + v_0(y_i - y_j)] \times R(z_{ij}); \\
(9) \quad r &= \frac{\bar{a}^2 \bar{a}^2 \overline{\cos \psi^2} (1 + \overline{\cos 2\psi}) - 2\bar{a}^4 \overline{\cos \psi^4}}{\bar{a}^{22} (1 + \overline{\cos 2\psi^2}) - 2\bar{a}^4 \overline{\cos \psi^4}};
\end{aligned}$$

$$r' = \frac{\bar{a}^2 \overline{\cos \psi^2}}{\bar{a}^2 (1 + \overline{\cos 2\psi})};$$

$$\sigma_1^2 = \frac{\bar{a}^{22}}{2} (1 + \overline{\cos 2\psi^2}) - \bar{a}^4 \overline{\cos \psi^4};$$

$$\sigma_2^2 = \frac{\bar{a}^{22}}{2} (1 - \overline{\cos 2\psi^2});$$

a — случайная амплитуда возбуждения излучателя. Многократные суммы в (7), (8) могут быть вычислены при помощи ЭВМ. Однако, пользуясь формулой суммирования Пуассона, они сводятся к сумме интегралов, которые при $kL \gg 1$, L — линейный размер решетки, могут быть вычислены асимптотически.

Для $v_0 = 0$ (что не ограничивает общности дальнейших результатов) и полуизотропных излучателей асимптотические выражения для этих сумм

при $d/\lambda = \alpha$, $\alpha < 1$, следующие:

$$(10) \quad \sum_{i,j} \beta_{ij} = \frac{N}{2\pi\alpha^2} \begin{cases} \frac{1}{\sqrt{1-u_0^2}}, & 0 \leq u_0 < \frac{1}{\alpha} - 1, \\ \sqrt{N\alpha}, & u_0 = \frac{1}{\alpha} - 1, \\ \frac{\sqrt{1-u_0^2} + \sqrt{1 - \left(u_0 - \frac{1}{\alpha}\right)^2}}{\sqrt{1-u_0^2} \sqrt{1 - \left(u_0 - \frac{1}{\alpha}\right)^2}}, & \frac{1}{\alpha} - 1 < u_0 < 1; \end{cases}$$

$$(11) \quad \sum_{i,j,l} \gamma_{ij} \gamma_{il} = 0;$$

$$(12) \quad \sum_{i,j,l} \beta_{ij} \beta_{il} = \frac{1}{N} \left[\sum \beta_{ij} \right]^2.$$

Оставшиеся суммы можно привести к виду

$$(13) \quad \sum_{i,j} \beta_{ij}^2 = \frac{1}{2} \left\{ \sum_{i,j} \frac{\sin^2 z_{ij}}{z_{ij}^2} + \sum_{q,j} \frac{\sin^2 z_{qj}}{z_{qj}^2} e^{-i2ku_0(x_q - x_j)} \right\},$$

$$(14) \quad \sum_{i,j} \gamma_{ij}^2 = \frac{1}{2} \left\{ \sum_{i,j} \frac{\sin^2 z_{ij}}{z_{ij}^2} - \sum_{q,j} \frac{\sin^2 z_{qj}}{z_{qj}^2} e^{-i2ku_0(x_q - x_j)} \right\}.$$

Для первой суммы в (13) имеем

$$(15) \quad \sum_{i,j} \frac{\sin^2 z_{ij}}{z_{ij}^2} = \frac{N}{4\pi\alpha^2} \times \begin{cases} 4 \operatorname{Arch}(\sqrt{2}\alpha) + 4 \operatorname{Arch}(2\alpha) + \ln(\gamma k L \sqrt{2}), & \frac{1}{\sqrt{2}} < \alpha \leq 1, \\ 4 \operatorname{Arch}(2\alpha) + \ln(\gamma k L \sqrt{2}), & \frac{1}{2} < \alpha < \frac{1}{\sqrt{2}}, \\ \ln(\gamma k L \sqrt{2}), & 0 < \alpha \leq \frac{1}{2}, \end{cases}$$

где $\gamma = 1,781 \dots$ — постоянная Эйлера [8]. Для второй суммы в (13) и (14) получим

$$(16) \quad \sum_{q,j} \frac{\sin^2 z_{qj}}{z_{qj}^2} e^{-i2ku_0(x_q - x_j)} = \frac{N}{4\pi\alpha^2} \times \begin{cases} \sum_{m,p=-\infty}^{\pm\infty} \operatorname{Arch}\left(\frac{2\alpha}{R}\right), & 0 < R \leq 2\alpha, \\ \ln(\gamma k L \sqrt{2}), & R = 0, \end{cases}$$

где $R = \sqrt{(m - 2\alpha u_0)^2 + p^2}$. При $0 \leq R \leq 2\alpha$ количество членов суммы зависит от d/λ , u_0 и в худшем случае не превышает 15. Отметим, что (10) совпадает с результатом, полученным в [4].

Результаты расчетов по формулам (7) и (8) с учетом (9)–(16) в случае фазовых искажений приведены на рис. 1 и 2, а в случае амплитудных искажений — на рис. 3 и 4.

Рис. 1: $d=0,5\lambda$; $N=441$; 1 — $\psi_0=0$, 2 — $\psi_0=\pi/8$, 3 — $\psi_0=3\pi/16$, 4 — $\psi_0=\pi/4$, 5 — $\psi_0=\pi/2$

Рис. 2: $d=0,75\lambda$; $N=441$; 1 — $\psi_0=0$, 2 — $\psi_0=\pi/8$, 3 — $\psi_0=3\pi/16$, 4 — $\psi_0=\pi/4$, 5 — $\psi_0=\pi/2$

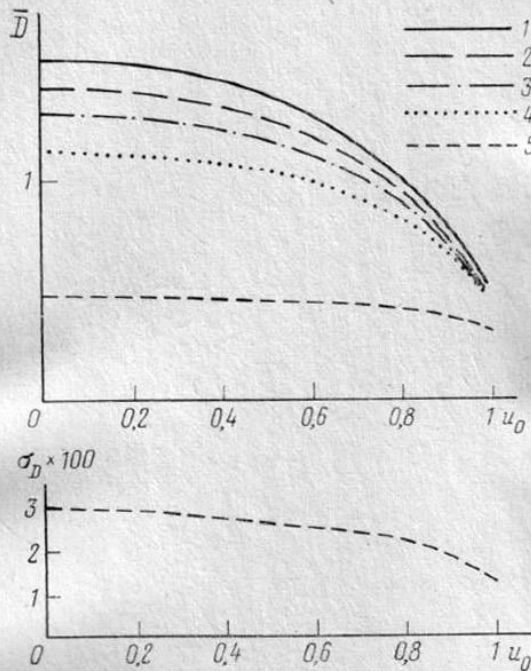


Рис. 1

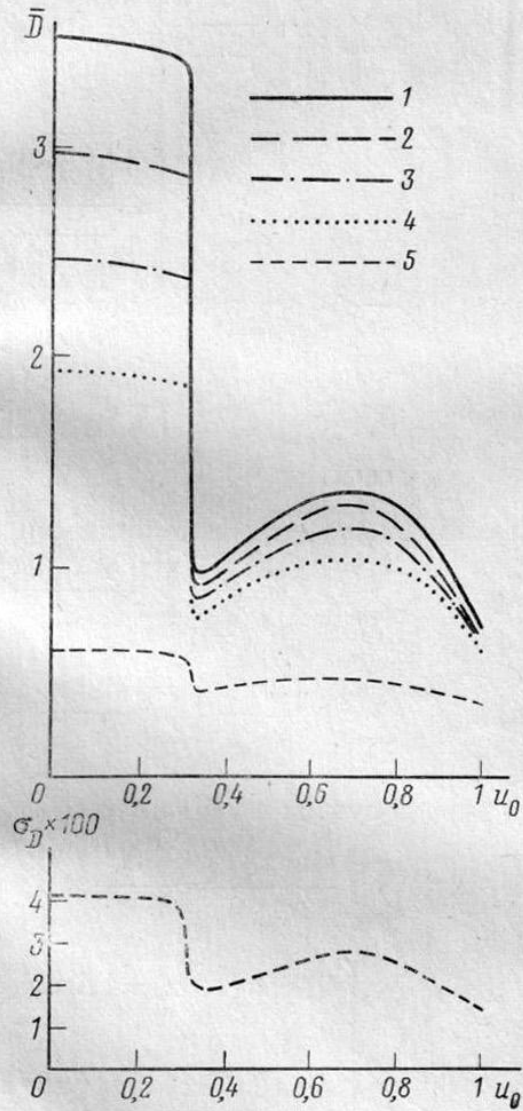


Рис. 2

При расчетах предполагалось, что фазы и амплитуды излучателей распределены по равновероятному закону в интервалах $(-\psi_0, \psi_0)$, $(\bar{a}-\Delta a, \bar{a}+\Delta a)$, $\bar{a}=1/2$, соответственно. Кривые на рисунках соответствуют амплитудным искажениям, выраженным в процентном отношении $\delta = \Delta a / \bar{a}$, и фазовым искажениям, выраженным через ширину полуинтервала распределения.

3. Кроме приведенного достаточно общего результата полученные в [5] частные результаты при помощи описанного метода получаются проще. Так, в упомянутой работе получены строгие выражения для среднего кнд и его дисперсии для линейной антенной решетки изотропных излучателей. Выражения, получаемые при помощи введения переменных (4) и исполь-

зований соотношений (6), отличаются от точных членами порядка $1/N$ для \bar{D} и $1/N^2$ для σ_D^2 .

Более того, при наличии в такой антенной решетке как фазовых, так и амплитудных искажений последовательное применение изложенного метода приводит к следующему результату:

$$(17) \quad \bar{D} = \bar{D}_A \bar{D}_\Phi,$$

$$(18) \quad \sigma_D^2 = \frac{\bar{D}_A^2 \bar{D}_\Phi^2}{N} \left\{ \frac{\bar{a}^4}{\bar{a}^{2^2}} + \frac{4\bar{a}^2}{\bar{a}^2} \frac{\overline{\cos^2 \psi}}{\cos^2 \psi} \frac{4\bar{a}^3}{\bar{a}\bar{a}^2} - 1 \right\},$$

где $\bar{D}_A = \bar{a}^2/\bar{a}^2$; $\bar{D}_\Phi = \overline{\cos^2 \psi}$.

Рис. 3: $d=0,5\lambda$; $N=441$; 1 - $\delta_1=0$, 2 - $\delta_2=25$, 3 - $\delta_3=50$, 4 - $\delta_4=75$, 5 - $\delta_5=100$

Рис. 4: $d=0,75\lambda$; $N=441$; 1 - $\delta_1=0$, 2 - $\delta_2=25$, 3 - $\delta_3=50$, 4 - $\delta_4=75$, 5 - $\delta_5=100$

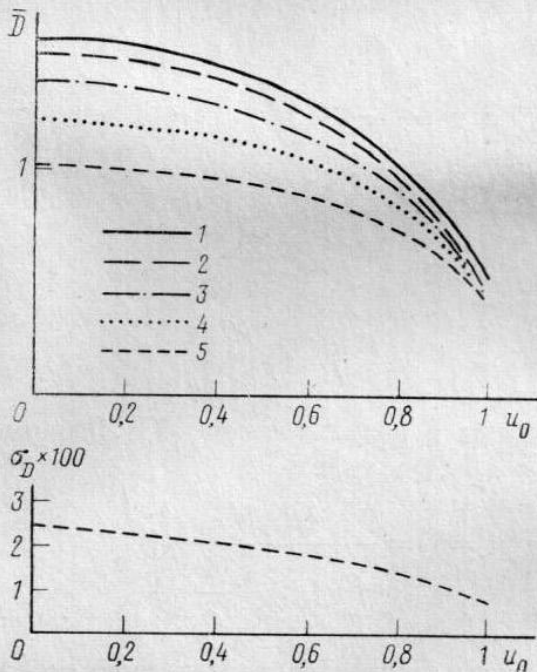


Рис. 3

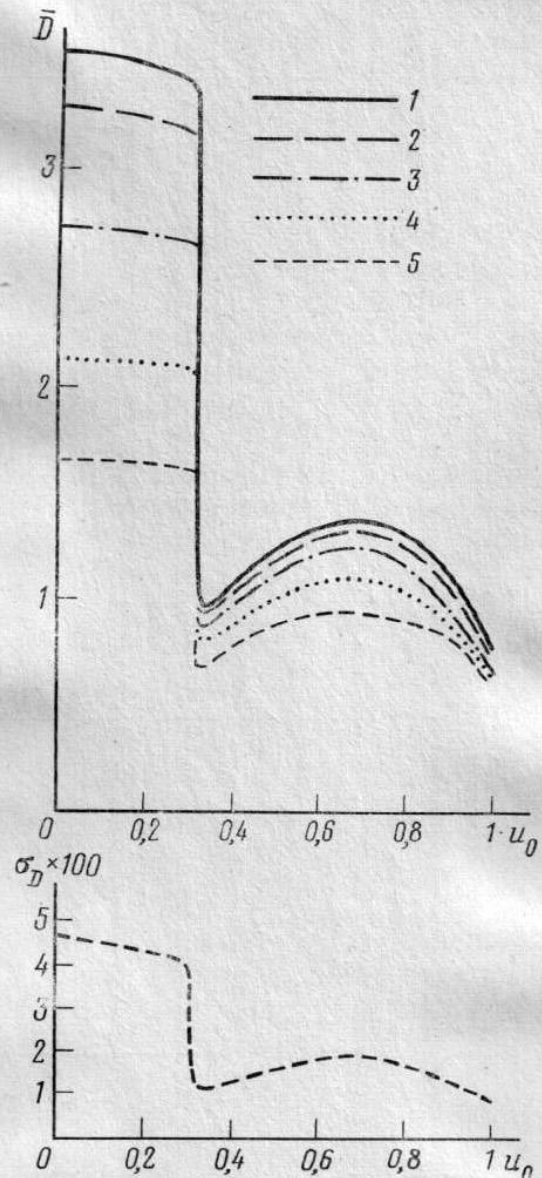


Рис. 4

Из (17) следует, что среднее значение нормированного кнд линейной решетки ортогональных излучателей при амплитудно-фазовых искажениях равно произведению среднего значения нормированного кнд при амплитудных искажениях (\bar{D}_A) на среднее значение нормированного кнд при фазовых искажениях (\bar{D}_Φ). Таким образом, соотношения (17), (18) обобщают результаты работы [5].

Пусть амплитуды излучателей a_j распределены по равновероятному закону в интервале $(1-\Delta a, 1+\Delta a)$. Тогда, например, для $N=20$

$$(19) \quad \bar{D} = \frac{3}{3+\Delta a^2},$$

$$(20) \quad \sigma_D^2 = \frac{3\Delta a^4(3+5\Delta a^2)}{25(3+\Delta a^2)^4}.$$

Результаты расчетов по формулам (19), (20) и результаты расчетов на ЭВМ [5] приведены в таблице.

| Δa | 1 | 0,8 | 0,6 | 0,4 | 0,2 | Δa | 1 | 0,8 | 0,6 | 0,4 | 0,2 |
|-----------------|------|------|------|------|------|-----------------------------|-----|-----|-----|-----|-----|
| \bar{D} | 0,75 | 0,82 | 0,89 | 0,95 | 0,99 | $\sigma_D \cdot 10^2$ | 6,1 | 4,2 | 2,4 | 1,1 | 0,3 |
| $\bar{D}_{ЭВМ}$ | 0,79 | 0,86 | 0,91 | 0,96 | 0,99 | $\sigma_D^{ЭВМ} \cdot 10^2$ | 5,1 | 3,5 | 2,2 | 1,6 | 0,8 |

Таким образом, совпадение результатов достаточно хорошее даже при сравнительно небольшом N .

4. Соотношения (5), (6) могут быть использованы для исследования статистических характеристик кнд произвольных неэквидистантных антенных решеток. Для плоских решеток с равновероятным законом расположения излучателей в раскрыве найденное таким способом среднее значение кнд совпадает с [6].

Рассмотрим случай линейной неэквидистантной решетки с равновероятным законом расположения излучателей $x_n \in (-L/2, L/2)$. В этом случае для изотропных излучателей

$$(21) \quad \bar{D} = \left\{ 1 + \frac{N-1}{kL} \left\{ \text{Si}[kL(1+u_0)] + \text{Si}[kL(1-u_0)] + \frac{\cos[kL(1+u_0)] - 1}{kL(1+u_0)} + \frac{\cos[kL(1-u_0)] - 1}{kL(1-u_0)} \right\} \right\}^{-1},$$

$$(22) \quad \sigma_D^2 = \frac{\bar{D}^4}{kL} \left\{ (1+u_0) \text{Si}[2kL(1+u_0)] + (1-u_0) \text{Si}[2kL(1-u_0)] + 2 \text{Si}(2kL) - 2u_0 \text{Si}(2kLu_0) \right\}.$$

Выражения (21), (22) для $u_0=0$ совпадают с результатами [7]. Для ненормированного кнд при $d_{cp} = L/N\lambda \ll 1$ из (21) получаем

$$\bar{D}(u_0=0) = \frac{2d_{cp}N}{1+2d_{cp} - \frac{1}{N}}; \quad \bar{D}(u_0=1) = \frac{4d_{cp}N}{1+4d_{cp} - \frac{1}{N}},$$

что с точностью до членов порядка $1/N$ совпадает с соответствующим результатом для непрерывного раскрыва [1].

Предложенный метод анализа статистических характеристик кнд при больших ФАР, произвольных амплитудно-фазовых искажениях и неэквидистантном расположении излучателей позволяет достаточно просто вычислять общие асимптотические (относительно $1/N$) выражения для \bar{D} и σ_D^2 , которые совпадают с результатами ранее рассмотренных частных случаев.

Авторы считают своим приятным долгом поблагодарить В. В. Меркулова за полезные консультации.

ЛИТЕРАТУРА

1. Сканирующие антенные системы СВЧ, 2, перев. с англ. под ред. Г. Т. Маркова и А. Ф. Чаплина, Изд. Советское радио, 1969.
2. Д. Худсон, Статистика для физиков, Изд. Мир, 1970.
3. Е. С. Вентцель, Теория вероятностей, Изд. Наука, 1964.
4. В. В. Меркулов, П. А. Савельев, Радиотехника и электроника, 1974, 19, 1, 20.
5. В. В. Меркулов, Радиотехника и электроника, 1966, 11, 11, 2066.
6. В. В. Меркулов, П. А. Савельев, Радиотехника и электроника, 1976, 21, 6, 1324.
7. В. В. Меркулов, Радиотехника и электроника, 1966, 11, 5, 928.
8. Е. Янке, Ф. Эмде, Ф. Лёш, Специальные функции, Изд. Наука, 1968.

Поступила в редакцию
18 I 1980